

УДК 539.374

**ВОЛНЫ СМЕЩЕНИЙ И ЛОКАЛИЗАЦИЯ ДЕФОРМАЦИЙ
ПРИ РАСТЯЖЕНИИ ПОЛОСЫ
С УПРУГОПЛАСТИЧЕСКИМИ ПРОСЛОЙКАМИ**

Г. В. Иванов, В. Д. Кургузов

*Институт гидродинамики им. М.А.Лаврентьева СО РАН,
630090 Новосибирск*

Экспериментальному и теоретическому исследованию волн смещений при пластическом деформировании структурно-неоднородных сред посвящены монографии [1–3].

Численное моделирование волн смещений рассматривалось в [4–6]. В [4] изучался вихревой характер скоростей при динамическом деформировании среды из жестких недеформируемых элементов с заданными силами взаимодействия между ними. В [5, 6] изучались неоднородность деформаций и волны смещений в среде из упругопластических элементов с прослойками, пластические свойства которых отличаются от свойств элементов. Обзор исследований [4–6] и их развития содержится в [3].

Ниже излагаются результаты численного моделирования волн смещений и локализации деформаций при растяжении полосы из жестких (недеформируемых) блоков с упругопластическими прослойками.

1. Уравнения жесткости упругопластической прослойки. Рассмотрим два жестких (недеформируемых) блока, соединенных упругопластической прослойкой (рис. 1,а). Полагаем, что поле скоростей блоков и прослойки плоское. Пусть u_{\pm} — скорости перемещения центров O_+ , O_- блоков, ω_{\pm} — угловые скорости блоков, F_{\pm} , M_{\pm} — действующие на прослойку со стороны блоков силы и моменты сил относительно центров O_+ , O_- . Зависимость F_{\pm} , M_{\pm} от u_{\pm} , ω_{\pm} условимся называть уравнениями жесткости прослойки.

В качестве модели деформирования прослойки примем безмоментную модель [7]. По этой модели прослойка представляется в виде слоя четырехугольных элементов (рис. 1,а,б) с уравнениями жесткости

$$\begin{aligned} p_+^{\alpha} - p_-^{\alpha} &= D^{\alpha\beta} \tau(u_+^{\beta} + u_-^{\beta}) + 2\chi^{\alpha}, \\ p_+^{\alpha} + p_-^{\alpha} &= C^{\alpha\beta} \tau(u_+^{\beta} - u_-^{\beta}) + 2(p_x^{\alpha})^0, \end{aligned} \quad (1.1)$$

где

$$u_{\pm}^{\alpha} = u^{\alpha}|_{\xi^{\alpha}=\pm 1}, \quad p_{\pm}^{\alpha} = (\hat{\sigma}^{\alpha\beta} \sqrt{g} \hat{\Theta}_{\beta})|_{\xi^{\alpha}=\pm 1}; \quad (1.2)$$

$\hat{\sigma}^{\alpha\beta}$ — компоненты тензора напряжений в связанной с элементом прослойки косоугольной системе координат $\xi^1, \xi^2 \in [-1, 1]$ (рис. 1,б); $\sqrt{g} = |\hat{\Theta}_1 \times \hat{\Theta}_2|$ ($\hat{\Theta}_{\alpha}$ — базисные векторы системы ξ^{α}); τ — шаг по времени (всюду ниже $\tau = 1$). На каждой итерации $D^{\alpha\beta}$, $C^{\alpha\beta}$, χ^{α} , $(p_x^{\alpha})^0$ — известные, постоянные в пределах элемента величины, корректируемые при переходе от одной итерации к другой по процедуре, подробно изложенной в [7].

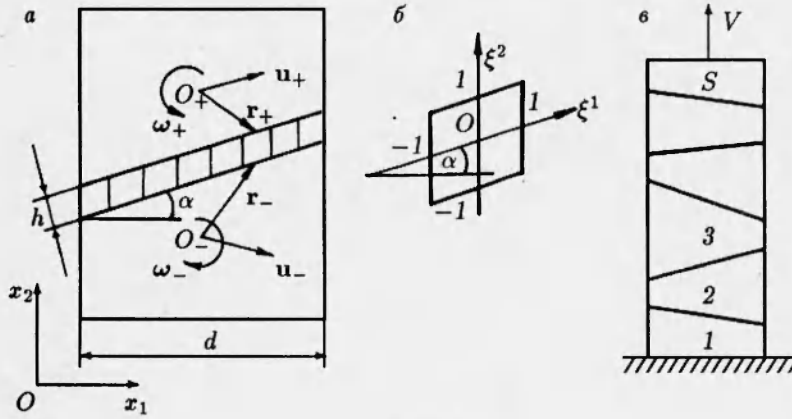


Рис. 1

На границах раздела блоков с элементами прослоек нормальные составляющие скоростей считаются непрерывными:

$$(\mathbf{u}_{\pm}^2 - \mathbf{u}_{\pm} - \boldsymbol{\omega}_{\pm} \times \mathbf{r}_{\pm}) \cdot \hat{\Theta}^2 \Big|_{\xi^2 = \pm 1} = 0. \quad (1.3)$$

Касательные составляющие скоростей в безмоментной модели [7] могут быть разрывными. На первой итерации принимается, что

$$(\mathbf{u}_{\pm}^2 - \mathbf{u}_{\pm} - \boldsymbol{\omega}_{\pm} \times \mathbf{r}_{\pm}) \cdot \hat{\Theta}_1 \Big|_{\xi^2 = \pm 1} = 0. \quad (1.4)$$

На последующих итерациях условие (1.4) сохраняется лишь на тех гранях, где величина касательных напряжений не превосходит предела текучести τ_* . На остальных гранях условие (1.4) заменяется условием равенства величины касательных напряжений пределу текучести. При этом знак касательных напряжений сохраняется тем же, что и при условии (1.4). Таким образом, в общем случае наряду с гранями элементов прослойки, где выполнены условия (1.4), будут грани, где выполнены условия вида

$$(\mathbf{p}_+^2 \cdot \hat{\Theta}_1) \Big|_{\xi^2 = +1} = \pm \tau_* |\hat{\Theta}_1|^2 \Big|_{\xi^2 = +1}, \quad (\mathbf{p}_-^2 \cdot \hat{\Theta}_1) \Big|_{\xi^2 = -1} = \pm \tau_* |\hat{\Theta}_1|^2 \Big|_{\xi^2 = -1}. \quad (1.5)$$

В процессе итераций условия вида (1.5) сохраняются на тех гранях, где мощность диссипации при проскальзывании этих граней относительно блоков неотрицательна. На остальных гранях условия вида (1.5) заменяются условиями (1.4).

Из (1.1)-(1.5) и условий непрерывности напряжений и скоростей на общих гранях смежных элементов прослойки следует

$$\mathbf{p}_i^1 = A_{i+1/2}^{(1)} \mathbf{u}_i^1 + A_{i+1/2}^{(2)} \mathbf{u}_{i+1}^1 + \Phi_{i+1/2}^{(1)} \mathbf{v}_- + \Phi_{i+1/2}^{(2)} \mathbf{v}_+ + \varphi_{i+1/2}^{(1)}, \quad (1.6)$$

$$\mathbf{p}_{i+1}^1 = A_{i+1/2}^{(3)} \mathbf{u}_i^1 + A_{i+1/2}^{(4)} \mathbf{u}_{i+1}^1 + \Phi_{i+1/2}^{(3)} \mathbf{v}_- + \Phi_{i+1/2}^{(4)} \mathbf{v}_+ + \varphi_{i+1/2}^{(2)};$$

$$(\mathbf{p}_-^2)_{i+1/2} = B_{i+1/2}^{(1)} \mathbf{u}_i^1 + B_{i+1/2}^{(2)} \mathbf{u}_{i+1}^1 + \Psi_{i+1/2}^{(1)} \mathbf{v}_- + \Psi_{i+1/2}^{(2)} \mathbf{v}_+ + \psi_{i+1/2}^{(1)}, \quad (1.7)$$

$$(\mathbf{p}_+^2)_{i+1/2} = B_{i+1/2}^{(3)} \mathbf{u}_i^1 + B_{i+1/2}^{(4)} \mathbf{u}_{i+1}^1 + \Psi_{i+1/2}^{(3)} \mathbf{v}_- + \Psi_{i+1/2}^{(4)} \mathbf{v}_+ + \psi_{i+1/2}^{(2)},$$

$$i = 0, 1, \dots, N - 1.$$

Здесь N — число элементов прослойки; $\mathbf{p}_i^1, \mathbf{u}_i^1$ — векторы напряжений и скоростей на гранях $\xi^1 = \pm 1$ элементов; $\mathbf{v}_+, \mathbf{v}_-$ — векторы:

$$\mathbf{v}_+ = (u_+^1, u_+^2, \omega_+), \quad \mathbf{v}_- = (u_-^1, u_-^2, \omega_-);$$

u_+^k, u_-^k ($k = 1, 2$) — декартовы компоненты векторов $\mathbf{u}_+, \mathbf{u}_-$.

Ниже рассматривается деформирование прослоек с равными нулю напряжениями на торцах прослоек. В этом случае

$$\mathbf{p}_0^1 = \mathbf{p}_N^1 = 0. \quad (1.8)$$

Система уравнений (1.6), (1.8) определяет зависимость векторов \mathbf{u}_i^1 от $\mathbf{v}_-, \mathbf{v}_+$:

$$\mathbf{u}_i^1 = D_i^- \mathbf{v}_- + D_i^+ \mathbf{v}_+ + \mathbf{d}_i, \quad i = 0, 1, \dots, N. \quad (1.9)$$

Матрицы D_i^\pm и векторы \mathbf{d}_i могут быть вычислены прогонкой, состоящей из двух этапов. На первом этапе уравнения (1.6), (1.8) преобразуются в систему уравнений

$$\mathbf{u}_i^1 = G_i \mathbf{u}_{i+1}^1 + H_i^- \mathbf{v}_- + H_i^+ \mathbf{v}_+ + \mathbf{g}_i, \quad i = 0, 1, \dots, N-1.$$

При этом матрицы G_i, H_i^-, H_i^+ и векторы \mathbf{g}_i вычисляются по рекуррентным формулам:

$$G_0 = -(A_{1/2}^{(1)})^{-1} A_{1/2}^{(2)}, \quad \mathbf{g}_0 = -(A_{1/2}^{(1)})^{-1} \varphi_{1/2}^{(1)},$$

$$H_0^- = -(A_{1/2}^{(1)})^{-1} \Phi_{1/2}^{(1)}, \quad H_0^+ = -(A_{1/2}^{(1)})^{-1} \Phi_{1/2}^{(2)},$$

$$G_{i+1} = L_i^{(1)} A_{i+3/2}^{(2)}, \quad L_i^{(1)} = (A_{i+1/2}^{(3)} G_i + A_{i+1/2}^{(4)} - A_{i+1/2}^{(1)})^{-1},$$

$$H_{i+1}^- = L_i^{(1)} (\Phi_{i+3/2}^{(1)} - \Phi_{i+1/2}^{(3)} - A_{i+1/2}^{(3)} H_i^-),$$

$$H_{i+1}^+ = L_i^{(1)} (\Phi_{i+3/2}^{(2)} - \Phi_{i+1/2}^{(4)} - A_{i+1/2}^{(3)} H_i^+),$$

$$\mathbf{g}_{i+1} = L_i^{(1)} (\varphi_{i+3/2}^{(1)} - \varphi_{i+1/2}^{(2)} - A_{i+1/2}^{(3)} \mathbf{g}_i), \quad i = 0, 1, \dots, N-1.$$

На втором этапе из уравнений

$$\mathbf{u}_{N-1}^1 - (G_{N-1} \mathbf{u}_N^1 + H_{N-1}^- \mathbf{v}_- + H_{N-1}^+ \mathbf{v}_+ + \mathbf{g}_{N-1}) = 0,$$

$$A_{N-1/2}^{(3)} \mathbf{u}_{N-1}^1 + A_{N-1/2}^{(4)} \mathbf{u}_N^1 + \Phi_{N-1/2}^{(3)} \mathbf{v}_- + \Phi_{N-1/2}^{(4)} \mathbf{v}_+ + \varphi_{N-1/2}^{(2)} = 0$$

определяются $D_N^-, D_N^+, \mathbf{d}_N$:

$$D_N^- = L_N^{(2)} [H_{N-1}^- + (A_{N-1/2}^{(3)})^{-1} \Phi_{N-1/2}^{(3)}], \quad L_N^{(2)} = -[(A_{N-1/2}^{(3)})^{-1} A_{N-1/2}^{(4)} + G_{N-1}],$$

$$D_N^+ = L_N^{(2)} [H_{N-1}^+ + (A_{N-1/2}^{(3)})^{-1} \Phi_{N-1/2}^{(4)}], \quad \mathbf{d}_N = L_N^{(2)} [\mathbf{g}_{N-1} + (A_{N-1/2}^{(3)})^{-1} \varphi_{N-1/2}^{(2)}],$$

а также вычисляются $D_i^-, D_i^+, \mathbf{d}_i$ ($i = N-1, N-2, \dots, 1, 0$) по рекуррентным формулам

$$D_i^- = G_i D_{i+1}^- + H_i^-, \quad D_i^+ = G_i D_{i+1}^+ + H_i^+,$$

$$\mathbf{d}_i = G_i \mathbf{d}_{i+1} + \mathbf{g}_i, \quad i = N-1, N-2, \dots, 1, 0.$$

Обозначим

$$F_{\pm}^k = \sum_{i=0}^{N-1} (\mathbf{p}_{\pm}^2)_{i+1/2} \cdot \mathbf{e}^k, \quad M_{\pm} = \sum_{i=0}^{N-1} (\mathbf{r}_{\pm} \times \mathbf{p}_{\pm}^2)_{i+1/2} \cdot \mathbf{e}^3, \quad (1.10)$$

$$\mathbf{Q}_{\pm} = (F_{\pm}^1, F_{\pm}^2, M_{\pm}),$$

где \mathbf{e}^k ($k = 1, 2, 3$) — базисные векторы декартовой системы координат.

Из (1.7), (1.9), (1.10) следует, что уравнения жесткости прослойки можно записать в форме

$$\mathbf{Q}_- = C^{(1)}\mathbf{v}_- + C^{(2)}\mathbf{v}_+ + \mathbf{c}^{(1)}, \quad \mathbf{Q}_+ = C^{(3)}\mathbf{v}_- + C^{(4)}\mathbf{v}_+ + \mathbf{c}^{(2)}. \quad (1.11)$$

Здесь матрицы $C^{(k)}$ ($k = 1, \dots, 4$) и векторы $\mathbf{c}^{(1)}, \mathbf{c}^{(2)}$ очевидным образом связаны с матрицами и векторами в уравнениях (1.7), (1.9).

2. Условия равновесия жестких блоков. Обозначим через S число образующих полосу жестких (недеформируемых) блоков (рис. 1,б), через \mathbf{v}_k ($k = 1, 2, \dots, S$) — векторы (u_k^1, u_k^2, ω_k) , в которых u_k^1, u_k^2 — декартовы компоненты скорости центра k -го блока, ω_k — угловая скорость этого блока.

Полагаем, что растяжение полосы задано в виде условий: блок $k = 1$ неподвижен, а блок $k = S$ движется поступательно с заданной скоростью V , и, следовательно,

$$\mathbf{v}_1 = (0, 0, 0), \quad \mathbf{v}_S = (0, V, 0). \quad (2.1)$$

Если для каждой из прослоек между блоками вычислить изложенным выше методом коэффициенты уравнений жесткости (1.11), то условия равновесия блоков (равенства нулю суммы приложенных к блоку сил и суммы моментов этих сил) можно сформулировать в виде уравнений

$$A_k \mathbf{v}_{k-1} + B_k \mathbf{v}_k + C_k \mathbf{v}_{k+1} = \mathbf{f}_k, \quad k = 2, 3, \dots, S-1, \quad (2.2)$$

коэффициенты которых очевидным образом связаны с коэффициентами уравнений жесткости прослоек. Решение системы уравнений (2.1), (2.2) может быть вычислено прогонкой [8].

3. Схема решения задачи о растяжении полосы с прослойками. Решение строится шагами по времени. Напряжения и скорости деформаций на шаге по времени вычисляются итерациями. Вычисление итерации состоит из двух основных этапов:

1. Формирование коэффициентов уравнений (2.2). На первой итерации первого шага по времени оно осуществляется на основе предположения, что все элементы прослоек деформируются упруго и нет проскальзывания прослоек относительно блоков, на всех последующих итерациях — на основе уравнений (1.1) и условий проскальзывания прослоек, определяемых по скоростям деформаций и напряжениям, найденным на предыдущей итерации.

2. Решение уравнений (2.1), (2.2) прогонкой, вычисление по найденным скоростям жестких блоков скоростей деформаций прослоек, напряжений на поверхностях раздела прослоек с блоками и корректировка на основе полученных результатов коэффициентов уравнений (1.1) и условий проскальзывания прослоек.

4. Предельное состояние полосы. Ниже деформирование прослоек считается идеальным упругопластическим. В этом случае сила растяжения полосы не может превосходить значение, при котором в полосе возникает предельное состояние (деформирование при постоянных напряжени-

ях). Предельное значение растягивающей силы условимся называть предельной нагрузкой. Обозначим ее через P_s .

Напряженное состояние

$$\sigma_{22} = 2\tau_*, \quad \sigma_{11} = \sigma_{12} = 0$$

статически допустимо при растяжении полосы с прослойками. Поэтому [9] предельная нагрузка имеет оценку снизу

$$P_s \geq 2\tau_* d, \quad (4.1)$$

где d — ширина полосы.

Поле скоростей в полосе с заданной системой прослоек является кинематически возможным для полосы, в которой наряду с заданной системой прослоек есть еще какие-либо прослойки. Поэтому [9] предельная нагрузка полосы с заданной системой прослоек — верхняя оценка предельной нагрузки полосы, в которой наряду с заданной системой прослоек есть еще какие-либо прослойки.

Из численных расчетов следует, что предельные нагрузки и локализация деформаций в предельном состоянии при растяжении полосы с прослойками зависят от ограничений поперечных смещений и поворотов жестких блоков. Ниже рассматриваются два крайних случая: растяжение при ограничениях, исключающих возможность поперечных смещений и поворотов блоков, и растяжение без каких-либо ограничений поперечных смещений и поворотов. Примером растяжения полосы без поперечных смещений и поворотов блоков может быть растяжение в условиях контакта поверхностей полосы с абсолютно гладкими и абсолютно жесткими плитами.

5. Предельные нагрузки и локализация деформаций при растяжении без поперечных смещений и поворотов блоков. Простейший случай растяжения полосы без поперечных смещений и поворотов блоков — растяжение полосы, состоящей из двух блоков с прослойкой между ними. В этом случае, согласно условиям (2.1), один из блоков неподвижен, а другой движется поступательно вдоль оси полосы.

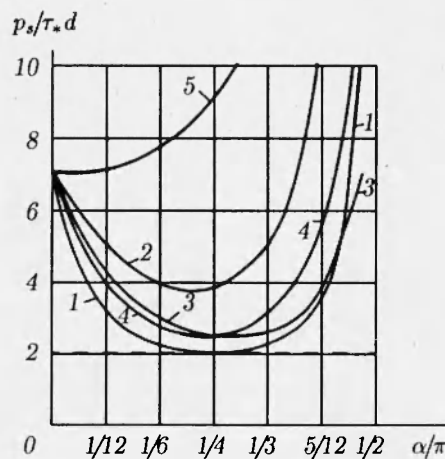


Рис. 2

На рис. 2 кривой 5 показана зависимость предельной нагрузки от угла наклона прослойки (угол α на рис. 1, а). Здесь и всюду ниже в расчетах толщина h прослойки считалась равной одной десятой ширины d полосы (рис. 1, а).

При растяжении без поперечных смещений и поворотов условия деформирования каждой из прослоек полосы те же, что и при растяжении полосы с одной прослойкой. Поэтому предельные нагрузки при растяжении без поперечных смещений и поворотов будут соответствовать кривой 5 на рис. 2, если под углом α на этом рисунке понимать наименьший по модулю среди углов наклона

имеющихся в полосе прослоек.

Деформация полосы в предельном состоянии при растяжении без поперечных смещений и поворотов локализуется в прослойке с наименьшим по модулю углом наклона. Если прослойка с наименьшим по модулю углом

наклона несколько, то в предельном состоянии могут деформироваться все эти прослойки, либо только какая-либо их часть.

6. Предельные нагрузки при растяжении полосы с двумя прослойками. Предельные нагрузки при растяжении полосы с двумя прослойками без ограничения поперечных смещений и поворотов блока между прослойками зависят от ориентации прослоек (углов α , β) и расстояния L между прослойками (рис. 3, а).

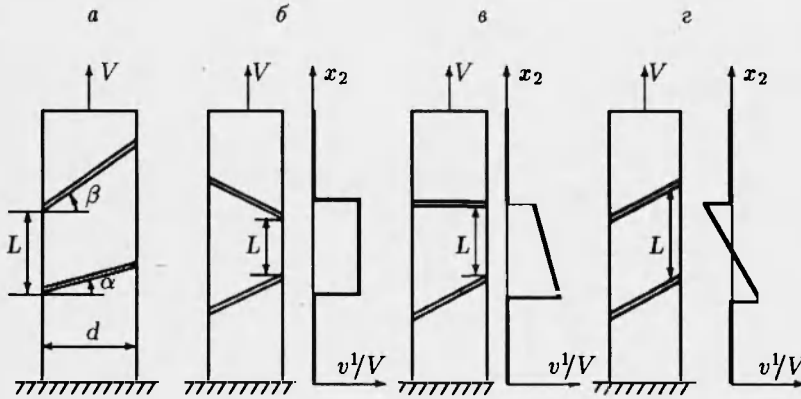


Рис. 3

Зависимость предельной нагрузки от ориентации прослоек представлена на рис. 2 в виде зависимости предельной нагрузки от угла α при $\beta = -\alpha$, α и 0 (кривые 1–3). Область между кривыми 1 и 3 отвечает предельным нагрузкам при $-\alpha \leq \beta \leq 0$, а между кривыми 3 и 2 — предельным нагрузкам при $0 \leq \beta \leq \alpha$. Расчеты проводились при $h/d = 0,1$, $L/d = 1$.

Предельные нагрузки при $\beta = -\alpha$ не зависят от расстояния L между прослойками. Зависимость предельных нагрузок от L при $\beta \neq -\alpha$ проиллюстрирована на рис. 2 кривой 4, соответствующей предельным нагрузкам при $\beta = \alpha$, $L/d = 2$. Область между кривыми 1 и 4 отвечает предельным нагрузкам при $-\alpha \leq \beta \leq \alpha$, $L/d = 2$. Она существенно меньше области между кривыми 1 и 2, соответствующей предельным нагрузкам при $-\alpha \leq \beta \leq \alpha$, $L/d = 1$. Из численных расчетов следует, что область предельных нагрузок с дальнейшим увеличением L/d уменьшается, стягиваясь к кривой 1. Поэтому при достаточно большом расстоянии между прослойками предельную нагрузку можно определять по кривой 1, принимая в качестве угла α наибольший из модулей углов наклона прослоек.

Штриховая линия на рис. 2 — предельная нагрузка при растяжении однородной идеально пластической полосы с пределом текучести τ_* . Согласно (4.1), она является нижней оценкой предельных нагрузок при растяжении полосы с прослойками. Из сопоставления штриховой линии с кривой 1 следует, что предельные нагрузки при растяжении полосы с двумя достаточно удаленными друг от друга прослойками, углы наклона которых удовлетворяют неравенству

$$\frac{\pi}{6} \leq \max(|\alpha|, |\beta|) \leq \frac{\pi}{3}, \quad (6.1)$$

отличаются от нижней оценки не более чем на 15 %.

Предельные нагрузки полосы с двумя прослойками — верхние оценки предельных нагрузок полосы с числом прослоек, большим двух. Поэтому

отличие предельных нагрузок полосы с любым (большим двух) числом прослоек от нижней оценки предельных нагрузок не будет превышать 15 % в случае, когда максимальный по модулю из углов наклона прослоек удовлетворяет неравенству (6.1).

Из сопоставления кривых 1 и 5 на рис. 2 следует, что возможность поперечных смещений существенно уменьшает предельные нагрузки. Поэтому при растяжении полосы с прослойками поперечные смещения будут всегда, когда нет ограничений, исключающих их возникновение. Скорости v^1 поперечных смещений оси полосы в предельном состоянии полосы с двумя прослойками при $\beta = -\alpha$, 0 и α представлены на рис. 3, б-г соответственно.

7. Волны поперечных смещений и локализация деформаций при растяжении полосы с тремя и пятью прослойками. Авторами было проведено большое число численных экспериментов по исследованию предельных нагрузок, волн поперечных смещений и локализации деформаций при растяжении полосы с тремя и пятью прослойками. Рассматривались прослойки с углами наклона к оси x_1 , модули которых не превосходят $\pi/4$. Углы наклона прослоек выбирались случайно с использованием датчика случайных чисел. Расчеты велись при $L/d = 1$.

Из изложенных в п. 6 результатов численных экспериментов вытекает, что при растяжении полосы с двумя прослойками предельные нагрузки не меньше тех, которые соответствуют кривой 1 на рис. 2, если в качестве угла α на этом рисунке принять наибольший из модулей углов наклона прослоек. Из результатов численных экспериментов по изучению растяжения полосы с тремя и пятью прослойками следует, что это свойство предельных нагрузок сохраняется и при растяжении полосы с тремя и пятью прослойками. Во всех проведенных экспериментах предельные нагрузки были не меньше тех, которые определяются кривой 1 на рис. 2 при условии, что в качестве угла α на этом рисунке принимается наибольший из модулей углов наклона прослоек.

Полученные во всех экспериментах предельные нагрузки незначительно отличались от тех, которые соответствуют кривой 1 на рис. 2. Поэтому в качестве предельных нагрузок при растяжении полосы с прослойками, число которых больше двух, можно принимать нагрузки, соответствующие кривой 1 на рис. 2 при условии, что в качестве угла α на этом рисунке принимается наибольший из модулей углов наклона прослоек. При растяжении полосы с тремя и пятью прослойками деформация полосы в предельном состоянии локализуется в одной или в двух прослойках. Локализация происходит в прослойке с наибольшим по модулю углом наклона либо в этой и еще какой-либо прослойке.

При растяжении полосы с тремя и пятью прослойками поперечные смещения в виде волны возникают уже при упругих деформациях. В качестве иллюстрации волн поперечных смещений на рис. 4, б-г представлены скорости v^1 поперечных смещений оси полосы с указанными на рис. 4, а прослойками при упругом деформировании, начале пластического деформирования и в предельном состоянии. Соответствующие скорости v^2 продольных смещений оси полосы приведены на рис. 4, д-ж.

При растяжении полосы с указанными на рис. 4, а прослойками деформация в предельном состоянии полосы локализуется в одной прослойке (рис. 4, г, ж). Из рис. 4, б, д видно, что эта прослойка отличается от других уже на стадии упругого деформирования тем, что в ней скачки скоростей (отрезки AB и CD на рис. 4, б, д) больше, чем в других прослойках. Различие возрастает с началом пластического деформирования (рис. 4, в, е). Отсюда следует, что в рассматриваемом примере можно прогнозировать локализацию деформаций в предельном состоянии полосы по скачкам скоро-

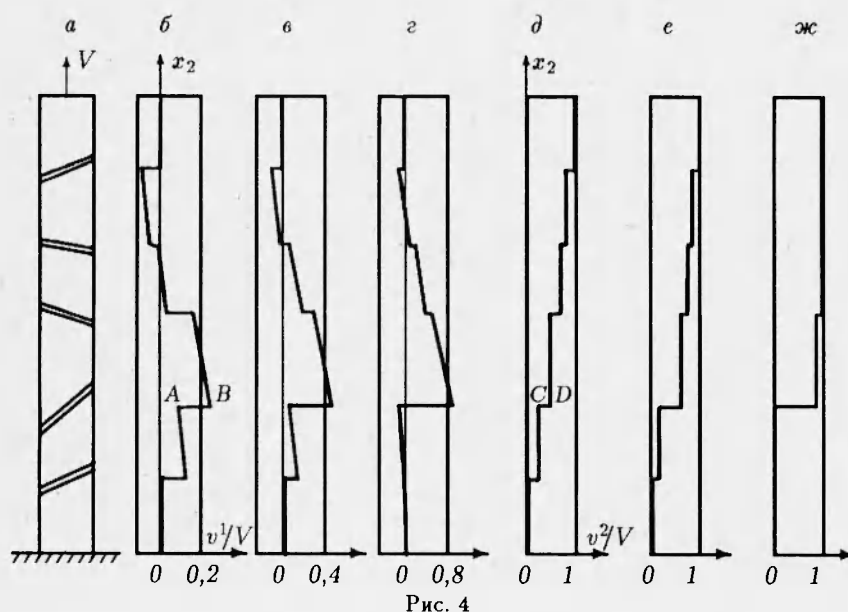


Рис. 4

стей при упругом и начальном упругопластическом деформировании.

Вывод о возможности прогнозирования локализации деформаций при растяжении полосы с прослойками по скачкам скоростей на стадиях упругого и начального упругопластического деформирования подтверждается результатами всех проведенных авторами численных экспериментов.

ЛИТЕРАТУРА

1. Панин В. Е., Лихачев В. А., Гриняев Ю. В. Структурные уровни деформации твердых тел. Новосибирск: Наука, 1985.
2. Структурные уровни пластической деформации и разрушения / В. Е. Панин, Ю. В. Гриняев, В. И. Данилов и др. Новосибирск: Наука, 1990.
3. Новые материалы и технологии. Конструирование новых материалов и упрочняющих технологий / В. Е. Панин, В. А. Клименов, С. Г. Псахье и др. Новосибирск: ВО «Наука», 1993.
4. Негрескул С. И., Псахье С. Г., Коростелев С. Ю., Панин В. Е. Моделирование зернистых сред методом элементной динамики. Томск, 1989. (Препр. / АН СССР. Сиб. отд-ние. Том. науч. центр, № 39).
5. Макаров П. В. Микродинамическая теория пластичности среды с внутренней структурой // Новые методы в физике и механике деформируемого твердого тела: Тр. Междунар. конф. Томск: Изд-во Том. ун-та, 1990.
6. Атаманов О. А., Макаров П. В., Николаев А. П. Математическое моделирование процесса упругопластической деформации поликристаллических агрегатов // Там же.
7. Иванов Г. В., Кургузов В. Д. Безмоментная модель упругопластического деформирования и предельного состояния тонких прослоек // ПМТФ. 1994. № 6.
8. Годунов С. К., Рябенький В. С. Разностные схемы. М.: Наука, 1977.
9. Качанов Л. М. Основы теории пластичности. М.: Наука, 1969.

Поступила в редакцию 17/V 1994 г.